

LIG: TM056

Abanico aluvial de Las Inviernas

Este documento contiene:

- **Figuras y Fotos relativas al LIG**

ÍNDICE DE FIGURAS O FOTOS

Figura o Foto 1: Mapa topográfico del LIG.....	4
Figura o Foto 2: Mapa de Relieves Sombreados del LIG. Obsérvese como la morfología en planta del Abanico se mantiene en la actualidad, esto se debe a la mayor resistencia que en general ofrecen los conglomerados a la erosión, lo que preserva la paleomorfología que en su momento estuvo cubierta (fossilizada).....	5
Figura o Foto 3: Mapa Geológico del LIG.	6
Figura o Foto 4: Ortofotografía del LIG.....	7
Figura o Foto 5: Columna estratigráfica, tomada de Ríos Aragües <i>et al.</i> 1988.	8
Figura o Foto 6: Ubicación del Abanico de Las Inviernas y modelo sedimentario, según Alonso-Zarza <i>et al.</i> (1988).	9
Figura o Foto 7: Columna litoestratigráfica sintética del Mioceno de la zona, Alonso-Zarza <i>et al.</i> (1988).....	10
Figura o Foto 8: Columnas estratigráficas y correlación, según Alonso-Zarza <i>et al.</i> (1988).	11
Figura o Foto 9: Modelo deposicional para el abanico de Las Inviernas, según Alonso-Zarza <i>et al.</i> (1988).....	12
Figura o Foto 10: Síntesis de la estratigrafía de la zona, según Alonso-Zarza y Pérez Jiménez (2008).....	13
Figura o Foto 11: Abanico de Las Inviernas. Zona próxima a Las Inviernas.	14
Figura o Foto 12: Casco urbano de Las Inviernas.	14
Figura o Foto 13: Abanico de Las Inviernas. Zona proximal.	15
Figura o Foto 14: Abanico de Las Inviernas. Capas de conglomerados entre areniscas y lutitas.	15
Figura o Foto 15: Abanico de Las Inviernas. Capas de conglomerados con bases erosivas.....	16
Figura o Foto 16: Abanico de Las Inviernas. Capas de conglomerados con bases erosivas, próximas al ápice del abanico.	16
Figura o Foto 17: Abanico de Las Inviernas. Capas de conglomerados a techo, y arenas/areniscas en la base.	17
Figura o Foto 18: Abanico de Las Inviernas. Los conglomerados ralentizan el efecto erosivo por lo que suelen rematar los cerros próximos Las Inviernas.....	17
Figura o Foto 19: En primer término materiales del Abanico de Las Inviernas. Al fondo se distingue las Tetras de Viana los penachos de vapor de la Central Nuclear de Trillo.	18
Figura o Foto 20: Caliza del páramo que fossiliza los materiales del Abanico de Las Inviernas. Observar el escaso espesor que presenta en la zona.	18
Figura o Foto 21: Vista general del Abanico de Las Inviernas desde el Norte.	19
Figura o Foto 22: Abanico de Las Inviernas, en zona distal, donde los conglomerados presentan mucho menor espesor, son más delgadas las capas y el tamaño de los componentes es más pequeño y más seleccionado.	20
Figura o Foto 23: Capas de gravas en zona distal del Abanico de Las Inviernas.	21
Figura o Foto 24: Paleosuelo en zona distal del Abanico de Las Inviernas. Obsérvese que genera resalte morfológico.	21
Figura o Foto 25: Detalle del paleosuelo anterior.....	22
Figura o Foto 26: Las Inviernas desde el SO.	23
Figura o Foto 27: Depósito de conglomerados en zonas intermedias del Abanico de Las Inviernas.	23
Figura o Foto 28: Abanico de Las Inviernas. Zona distal.	24

Figura o Foto 29: Fuente de Las Inviernas.....	24
Figura o Foto 30: Lavadero de Las Inviernas.	25
Figura o Foto 31: Camino de Santiago: “La Ruta de la Lana”	25
Figura o Foto 32: Camino de Santiago: “La Ruta de la Lana”	26

TM056 - Abanico aluvial de Las Inviernas (delimitación en azul)
Sobre Mapa Topográfico (Año 2016), escala original 1:25000 «© Instituto Geográfico Nacional de España»

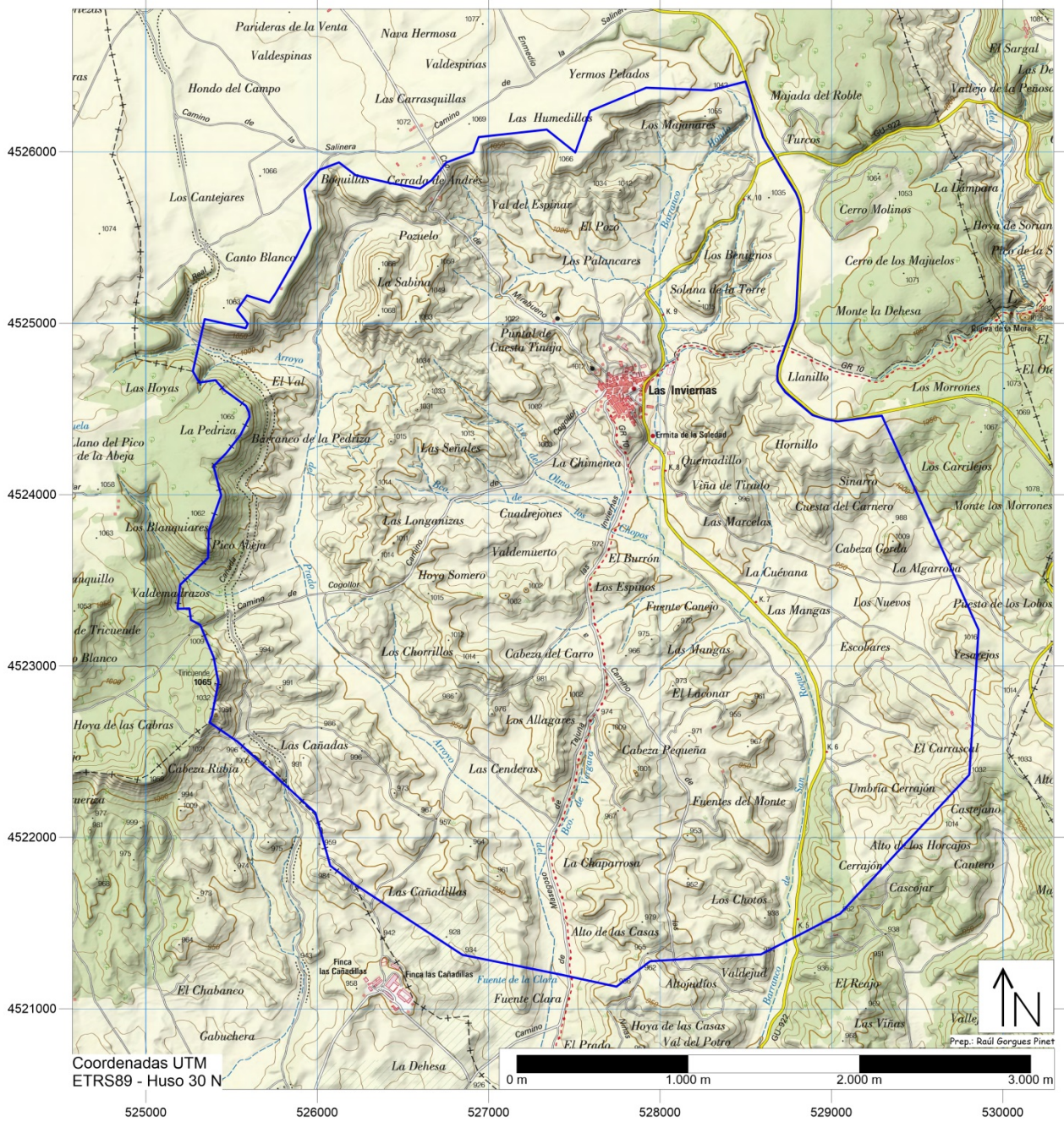


Figura o Foto 1: Mapa topográfico del LIG.

TM056 - Abanico aluvial de Las Inviernas (delimitación en azul)

Sobre Mapa de Relieve Sombreados a partir del MDT «LiDAR-PNOA cedido por © Instituto Geográfico Nacional de España»

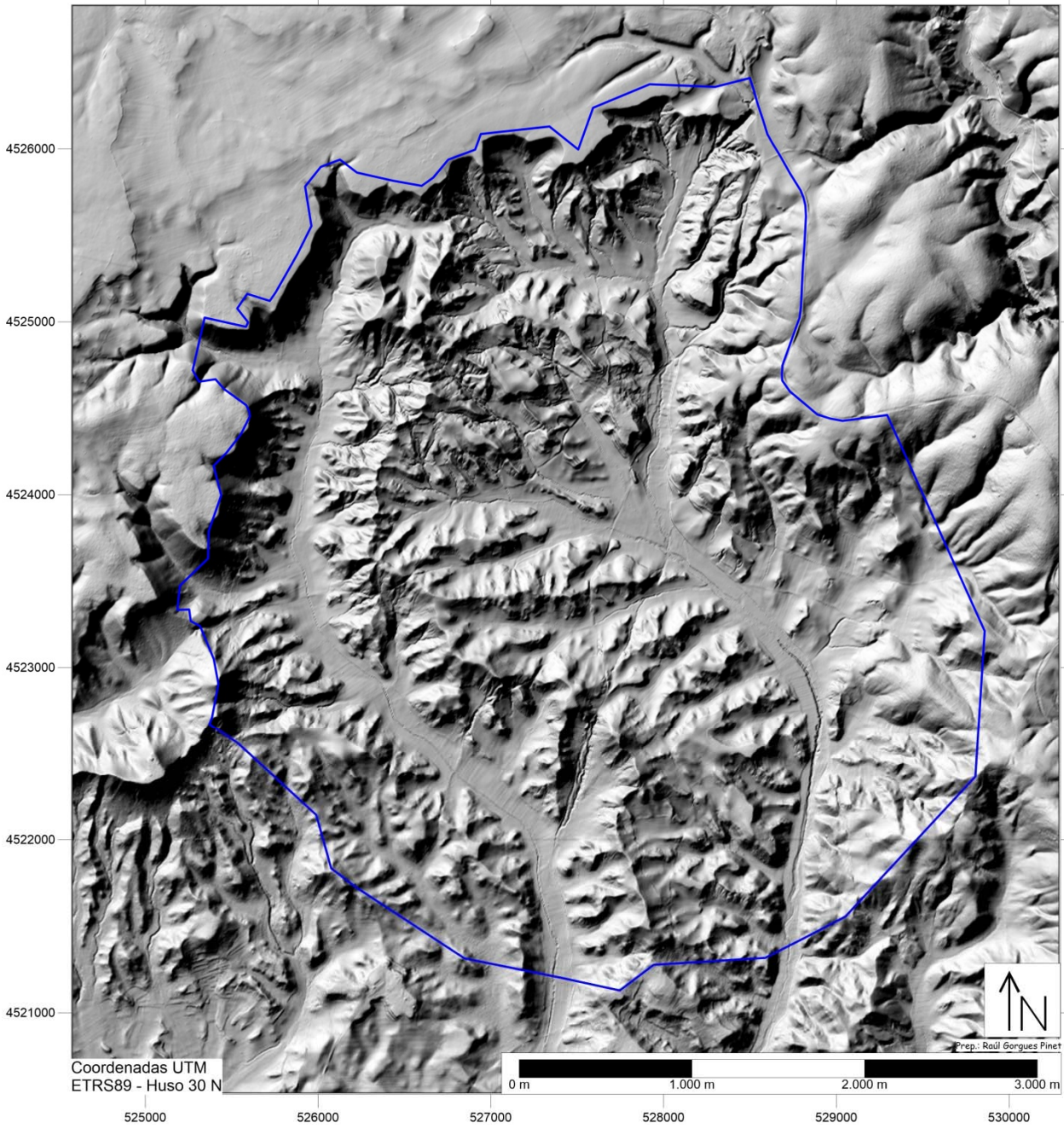


Figura o Foto 2: Mapa de Relieves Sombreados del LIG. Obsérvese como la morfología en planta del Abanico se mantiene en la actualidad, esto se debe a la mayor resistencia que en general ofrecen los conglomerados a la erosión, lo que preserva la paleomorfología que en su momento estuvo cubierta (fossilizada).

TM056 - Abanico aluvial de Las Inviernas (delimitación en azul)
Sobre Mapa Geológico (IGME) a escala original 1:50000. Año 1988

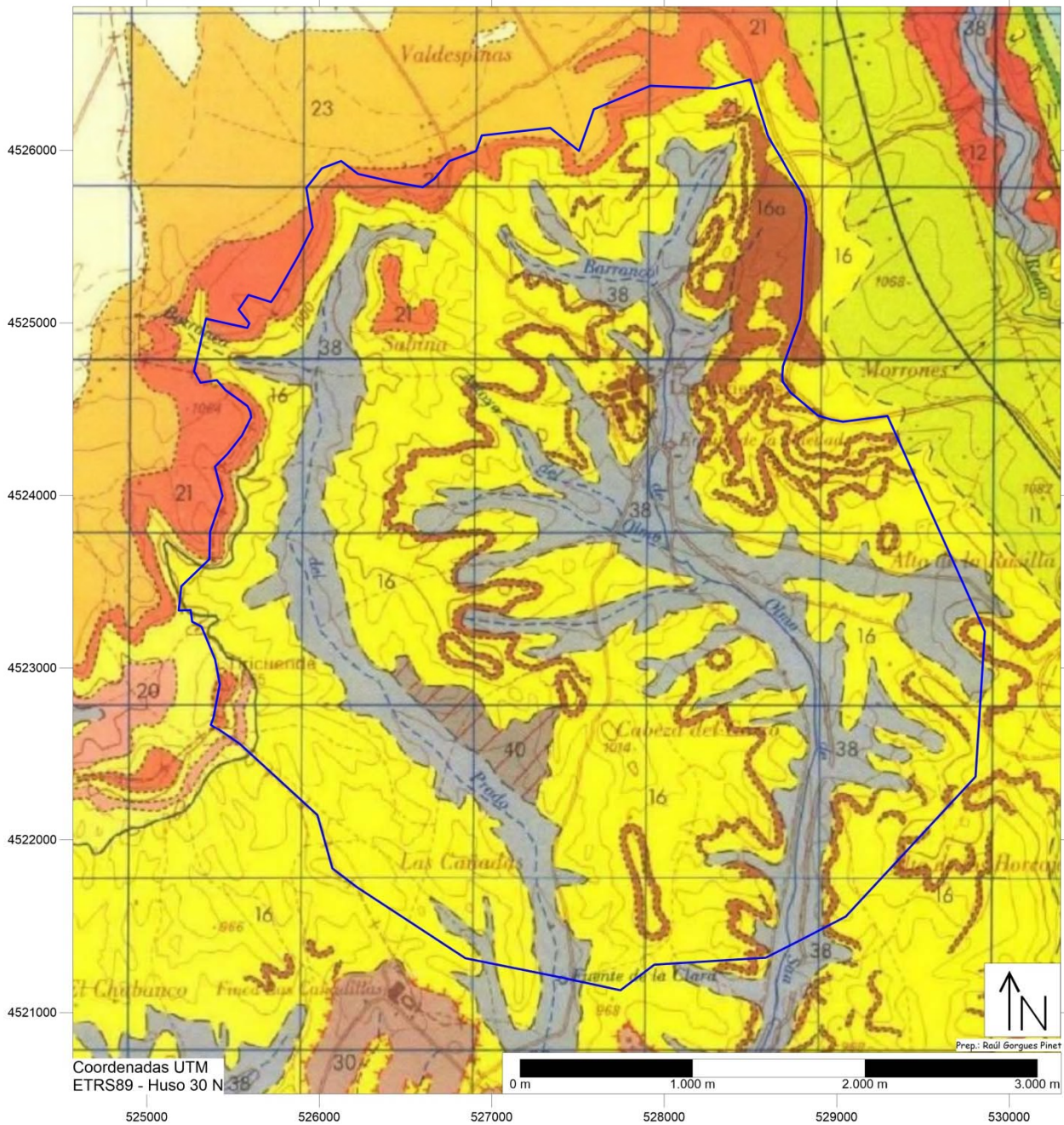


Figura o Foto 3: Mapa Geológico del LIG.

TM056 - Abanico aluvial de Las Inviernas (delimitación en azul)
Ortofoto. Vuelo de 2014 «PNOA cedido por © Instituto Geográfico Nacional de España»

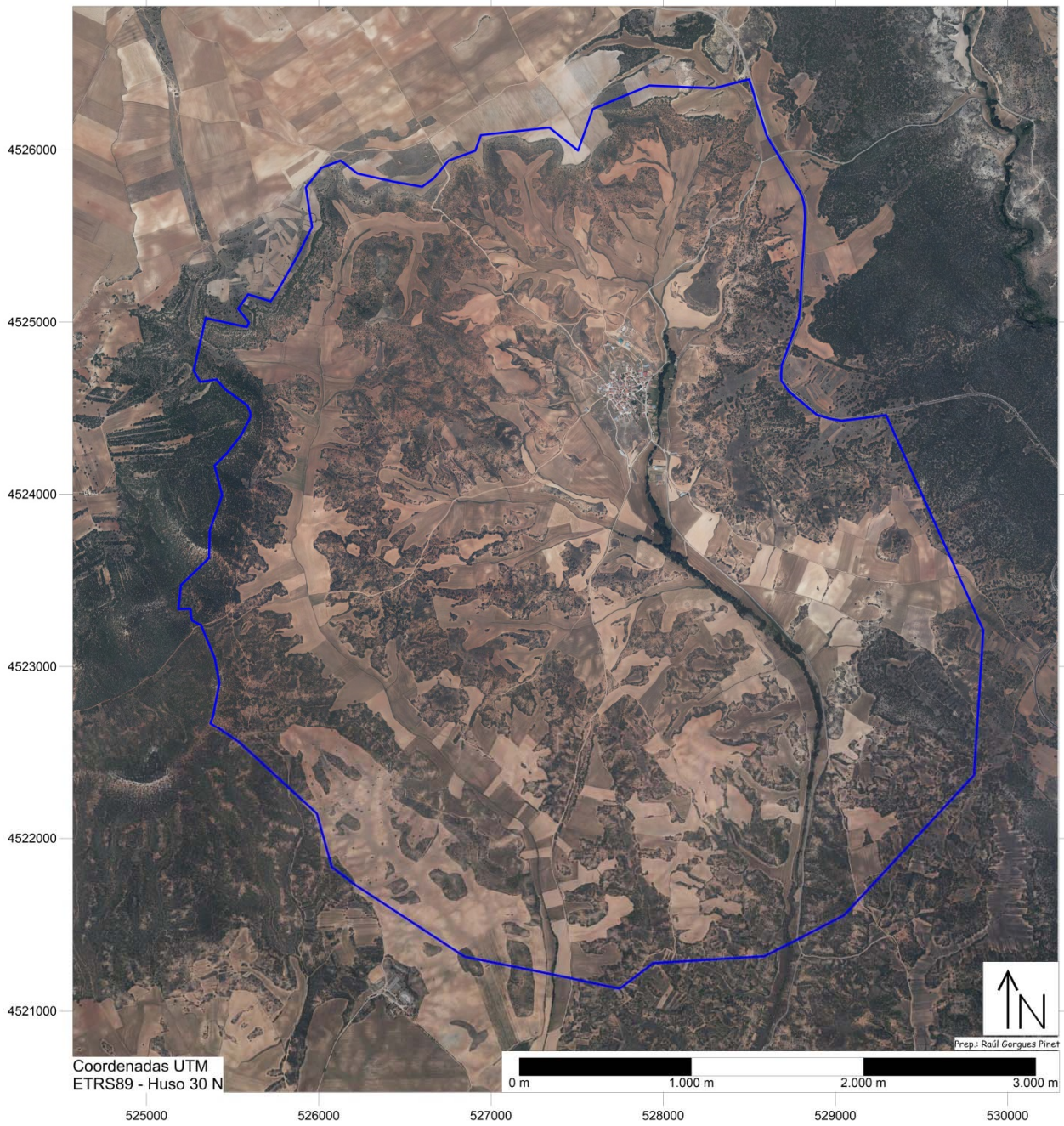


Figura o Foto 4: Ortofoto del LIG.

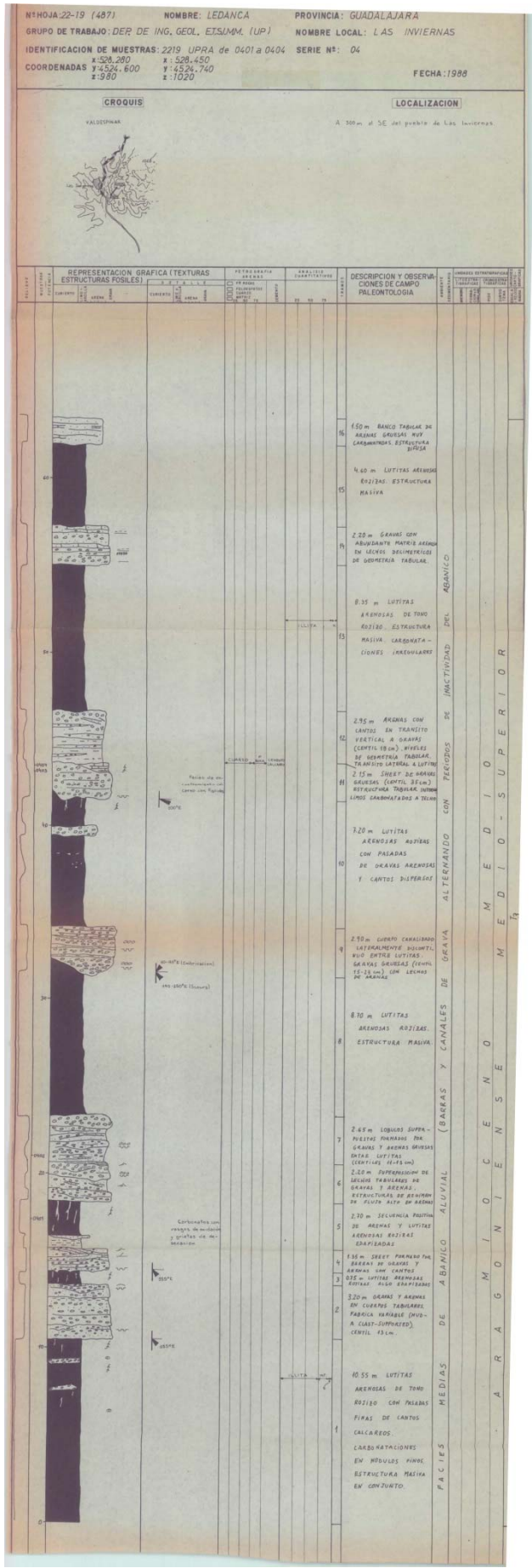


Figura o Foto 5: Columna estratigráfica, tomada de Ríos Aragües et al. 1988.

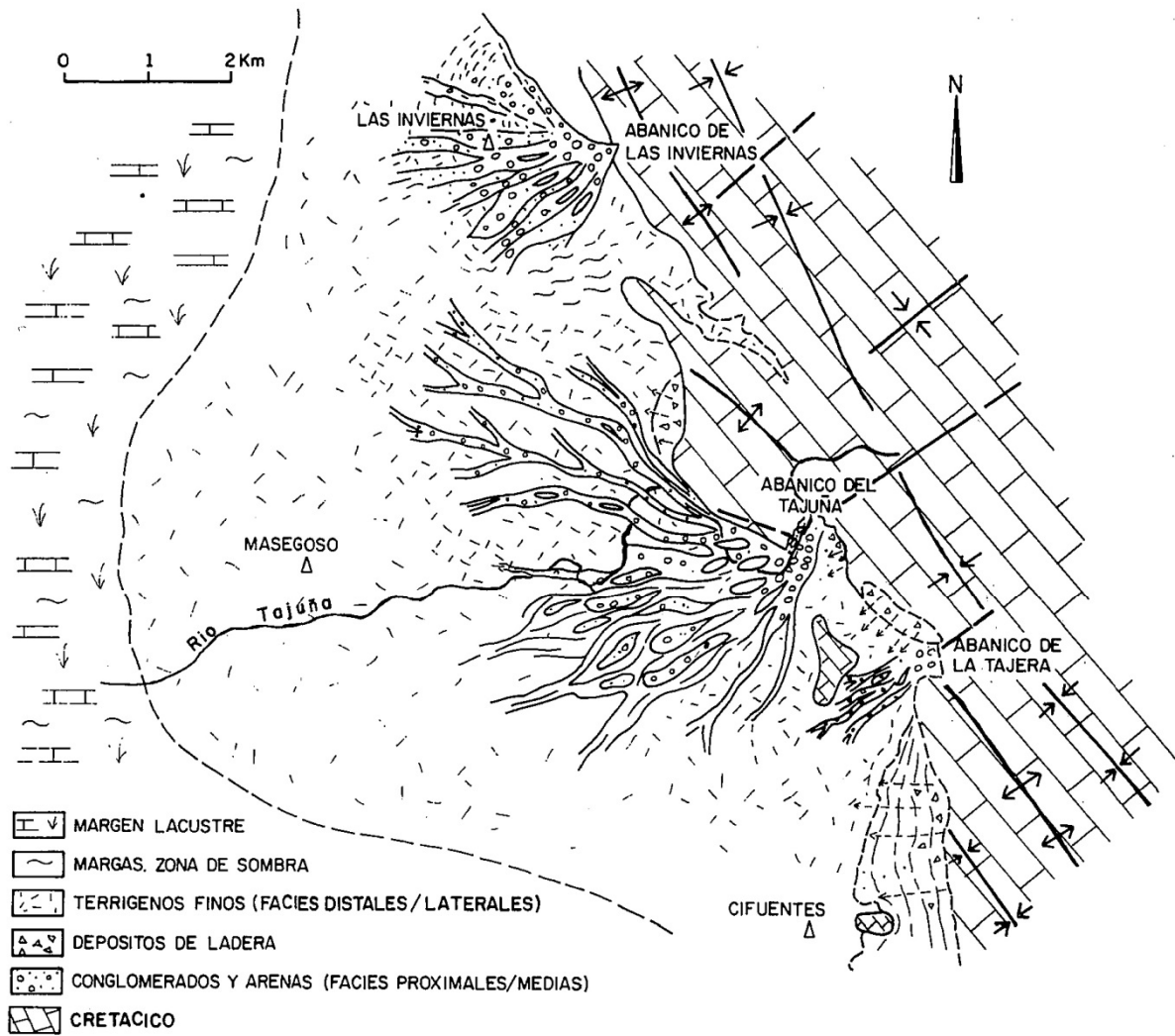


Fig. 2.-Localización y modelo sedimentario idealizado de los sistemas aluviales del área NE de la Cuenca de Madrid.
 Fig. 2.-Location and interpreted depositional model for the alluvial systems of the NE Madrid Basin.
 Tomado de Alonso-Zarza, A.M^a.; Calvo, J.P.; García del Cura, M.A. y Hoyos, M. (1988): "El Complejo de abanicos aluviales-depósitos de ladera de Las Inviernas-Cifuentes: un modelo para la construcción del borde NE de la Cuenca de Madrid". II Congreso Geológico de España. Vol. 1: 15-19

Figura o Foto 6: Ubicación del Abanico de Las Inviernas y modelo sedimentario, según Alonso-Zarza *et al.* (1988).

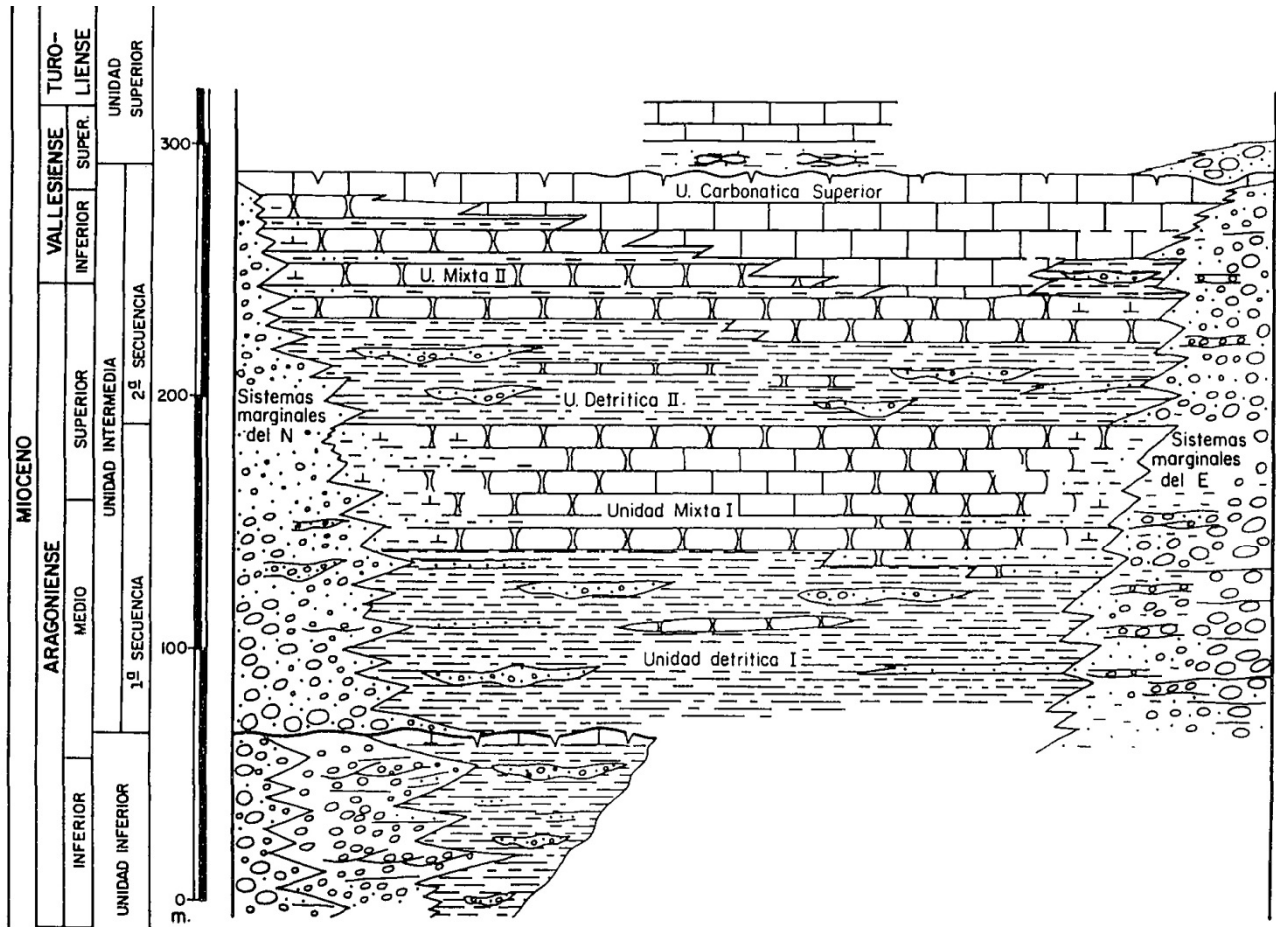
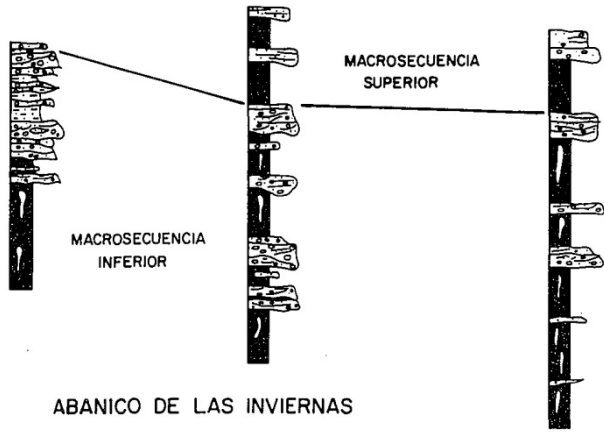


Fig. 3.-Columna litoestratigráfica sintética del Mioceno de la zona NE de la Cuenca de Madrid.

Fig. 3.-Idealized lithostratigraphic log of the Miocene of the NE area of the Madrid Basin.

Tomado de Alonso-Zarza, A.M^a.; Calvo, J.P.; García del Cura, M.A. y Hoyos, M. (1988): "El Complejo de abanicos aluviales-depósitos de ladera de Las Inviernas-Cifuentes: un modelo para la construcción del borde NE de la Cuenca de Madrid". II Congreso Geológico de España. Vol. 1: 15-19

Figura o Foto 7: Columna litoestratigráfica sintética del Mioceno de la zona, Alonso-Zarza et al. (1988).



Tomado de Alonso-Zarza, A.M^a.; Calvo, J.P.; García del Cura, M.A. y Hoyos, M. (1988): "El Complejo de abanicos aluviales-depósitos de ladera de Las Inviernas-Cifuentes: un modelo para la construcción del borde NE de la Cuenca de Madrid". II Congreso Geológico de España. Vol. 1: 15-19

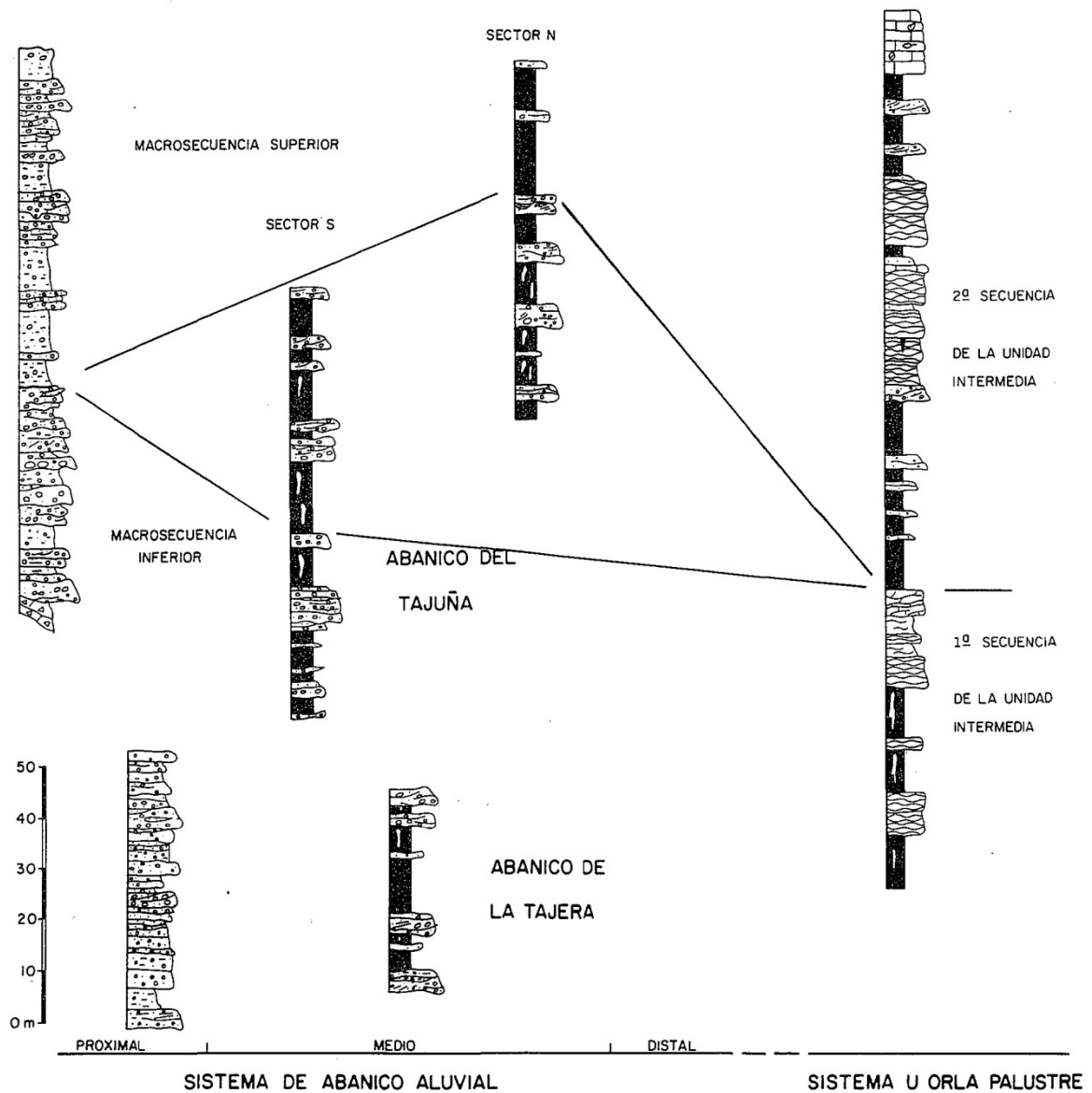


Fig. 4.-Columnas estratigráficas de los distintos abanicos y su correlación con secciones constituidas por depósitos finos de abanicos aluviales y carbonatos palustres.
 Fig. 4.-Stratigraphic sections of the different fans and their correlation with distal to palustrine environments.

Figura o Foto 8: Columnas estratigráficas y correlación, según Alonso-Zarza *et al.* (1988).

Tomado de Alonso-Zarza, A.M^a.; Calvo, J.P.; García del Cura, M.A. y Hoyos, M. (1988): "El Complejo de abanicos aluviales-depósitos de ladera de Las Inviernas-Cifuentes: un modelo para la construcción del borde NE de la Cuenca de Madrid". II Congreso Geológico de España. Vol. 1: 15-19

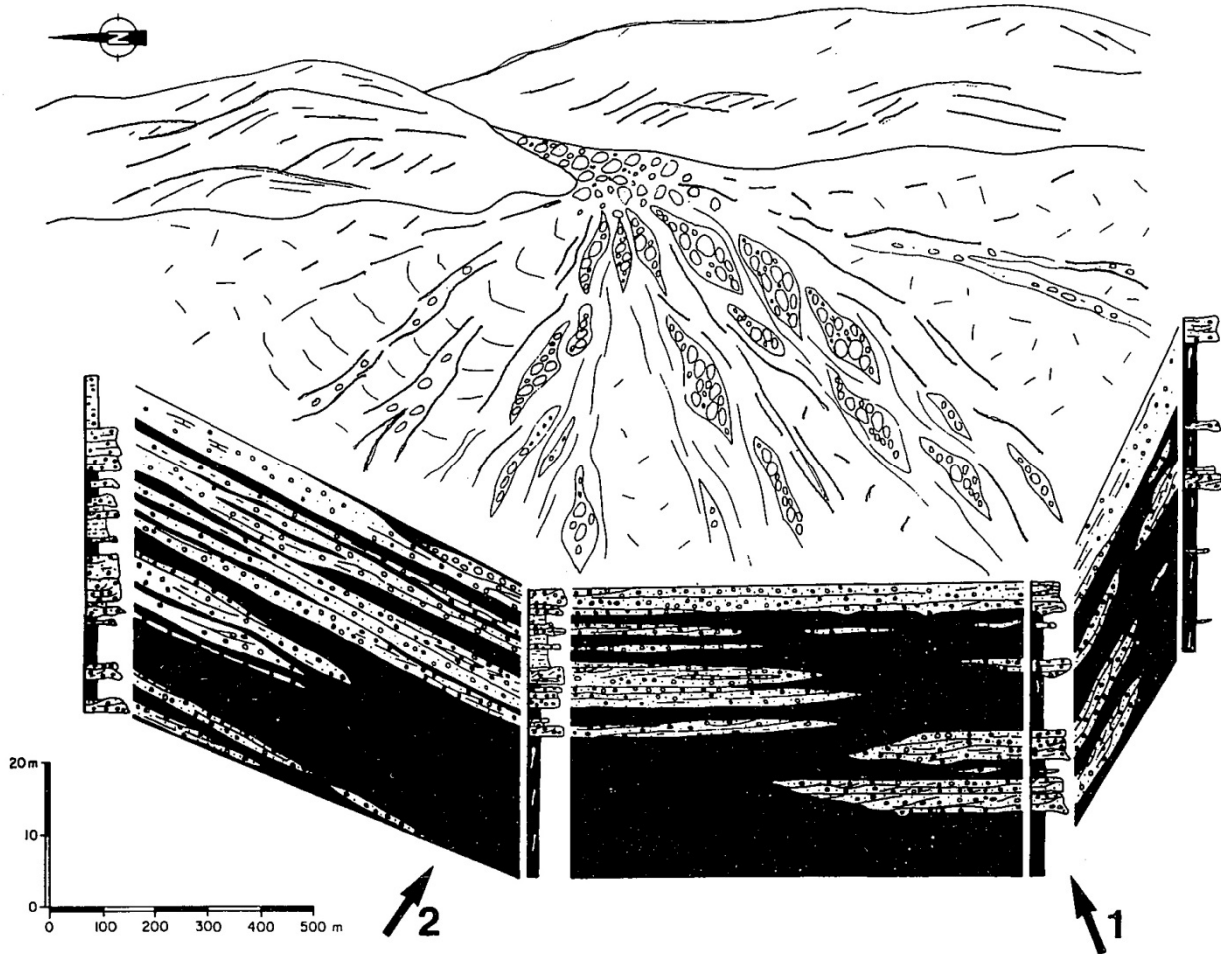


Fig. 9.-Modelo deposicional para el abanico de Las Inviernas. Basado en las columnas estratigráficas mostradas en la figura. La posición inicial del eje del abanico viene marcada por 1. La posición 2 indica la zona más meridional en la que se encuentran depósitos del eje del abanico a partir de la parte media de la primera macrosecuencia.

Figura o Foto 9: Modelo deposicional para el abanico de Las Inviernas, según Alonso-Zarza *et al.* (1988).

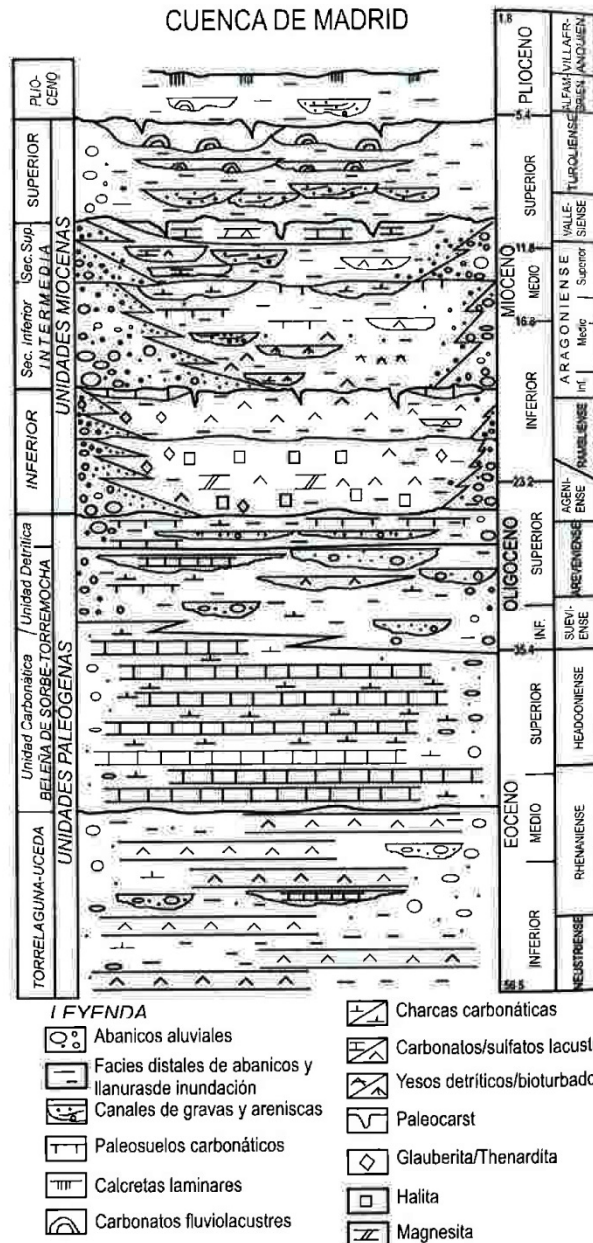


Figura 2. Estratigrafía de los depósitos terciarios de la Cuenca de Madrid.

Alonso-Zarza, A.M^a. y Pérez Jiménez, J.L. (2008). El Terciario del NE de la Cuenca de Madrid: Discordancias, abanicos aluviales, lagos y paleosuelos. En: Geología de Guadalajara. XV Simposio sobre Enseñanza de la Geología. A. Calonge y M. Rodríguez (Eds). 223-232

Figura o Foto 10: Síntesis de la estratigrafía de la zona, según Alonso-Zarza y Pérez Jiménez (2008).



Figura o Foto 11: Abanico de Las Inviernas. Zona próxima a Las Inviernas.



Figura o Foto 12: Casco urbano de Las Inviernas.



Figura o Foto 13: Abanico de Las Inviernas. Zona proximal.



Figura o Foto 14: Abanico de Las Inviernas. Capas de conglomerados entre areniscas y lutitas.



Figura o Foto 15: Abanico de Las Inviernas. Capas de conglomerados con bases erosivas.



Figura o Foto 16: Abanico de Las Inviernas. Capas de conglomerados con bases erosivas, próximas al ápice del abanico.



Figura o Foto 17: Abanico de Las Inviernas. Capas de conglomerados a techo, y arenas/areniscas en la base.



Figura o Foto 18: Abanico de Las Inviernas. Los conglomerados ralentizan el efecto erosivo por lo que suelen rematar los cerros próximos Las Inviernas.



Figura o Foto 19: En primer término materiales del Abanico de Las Inviernas. Al fondo se distingue las Tetas de Viana los penachos de vapor de la Central Nuclear de Trillo.



Figura o Foto 20: Caliza del páramo que fosiliza los materiales del Abanico de Las Inviernas. Observar el escaso espesor que presenta en la zona.



Figura o Foto 21: Vista general del Abanico de Las Inviernas desde el Norte.



Figura o Foto 22: Abanico de Las Inviernas, en zona distal, donde los conglomerados presentan mucho menor espesor, son más delgadas las capas y el tamaño de los componentes es más pequeño y más seleccionado.



Figura o Foto 23: Capas de gravas en zona distal del Abanico de Las Inviernas.



Figura o Foto 24: Paleosuelo en zona distal del Abanico de Las Inviernas. Obsérvese que genera resalte morfológico.

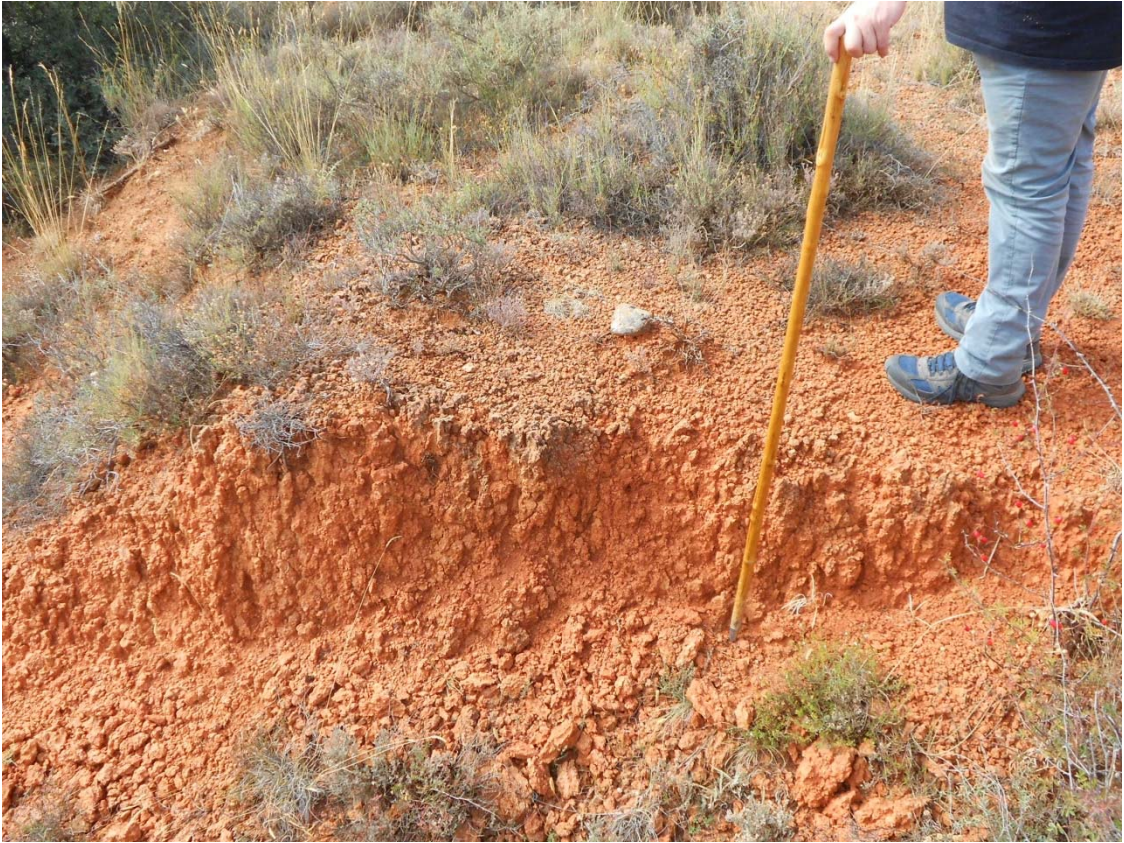


Figura o Foto 25: Detalle del paleosuelo anterior.



Figura o Foto 26: Las Inviernas desde el SO.



Figura o Foto 27: Depósito de conglomerados en zonas intermedias del Abanico de Las Inviernas.



Figura o Foto 28: Abanico de Las Inviernas. Zona distal.



Figura o Foto 29: Fuente de Las Inviernas.



Figura o Foto 30: Lavadero de Las Inviernas.



Figura o Foto 31: Camino de Santiago: "La Ruta de la Lana".



Figura o Foto 32: Camino de Santiago: "La Ruta de la Lana".